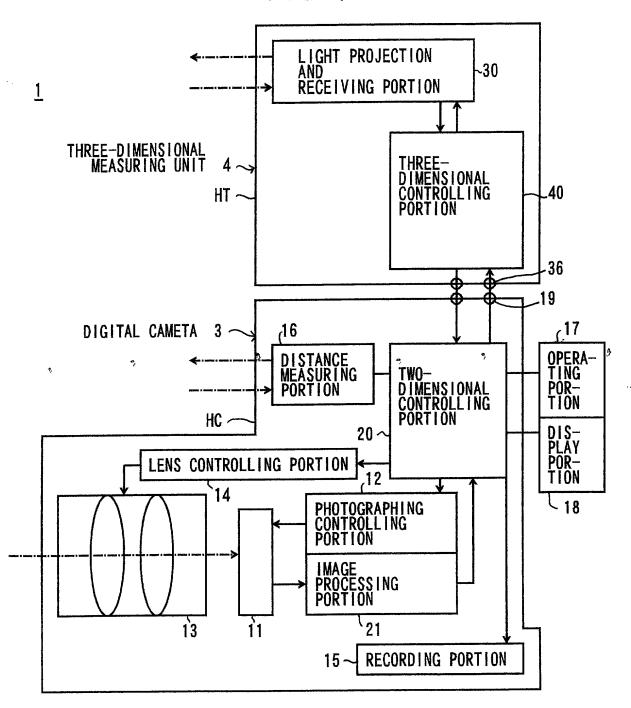
FIG. 1



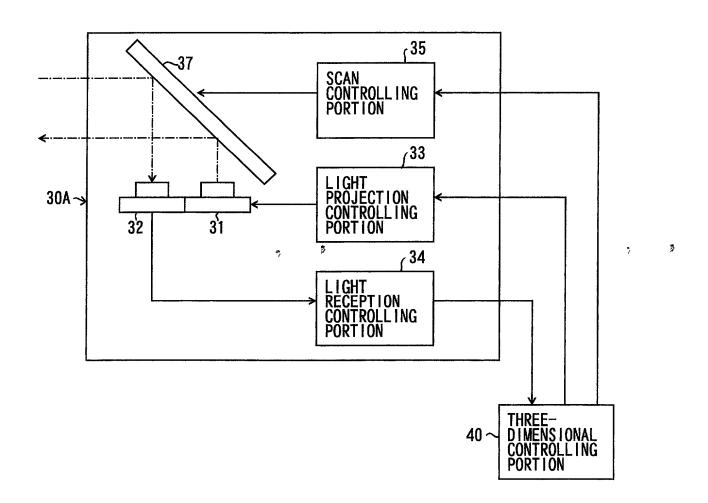
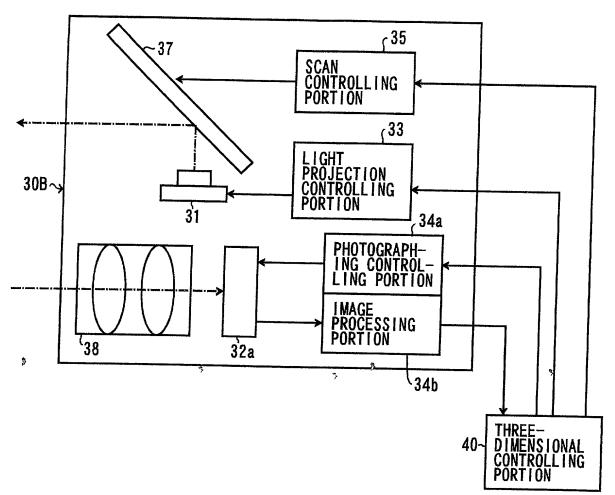


FIG. 3



Þ

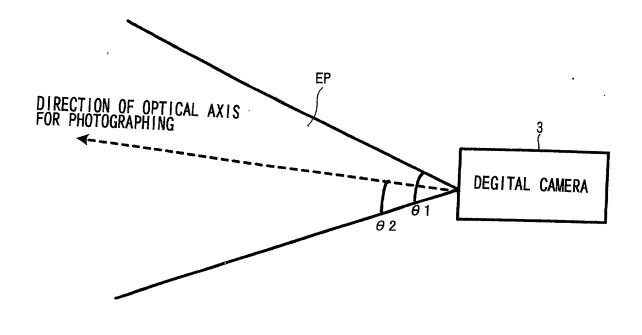
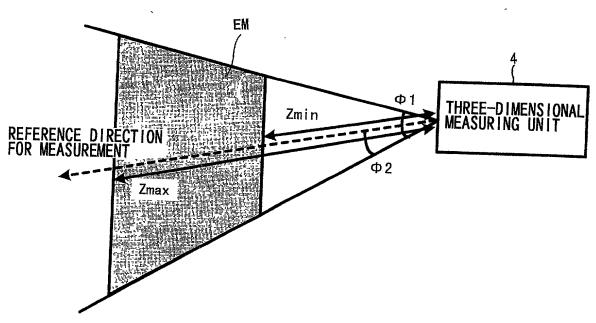
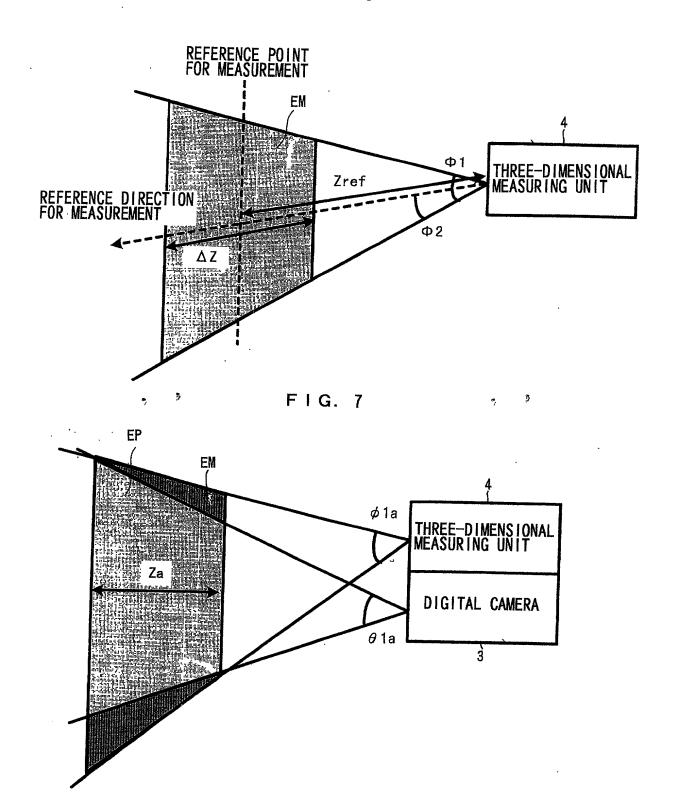
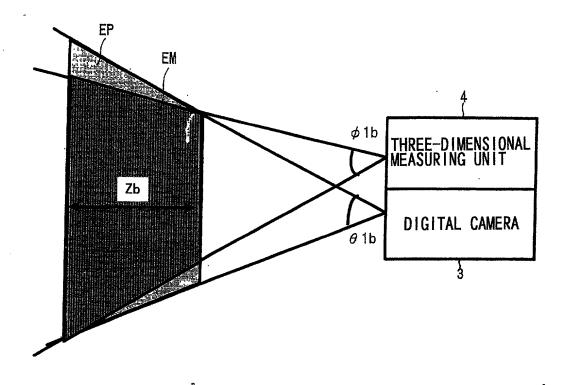


FIG. 5







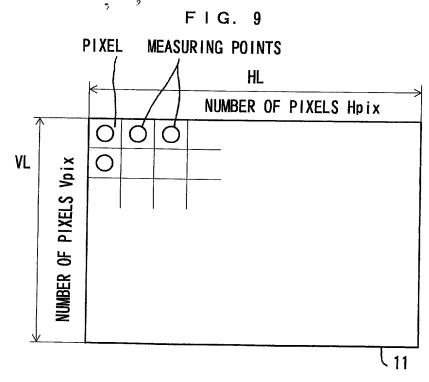
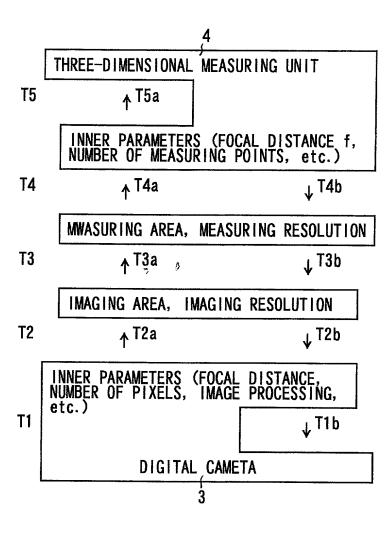


FIG. 10



1.5

FIG. 11

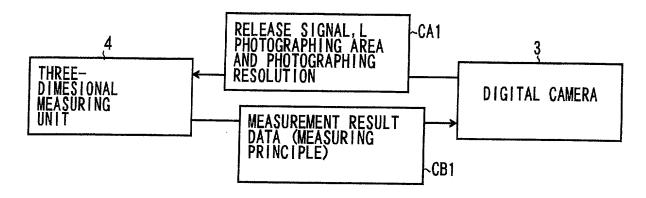


FIG. 12

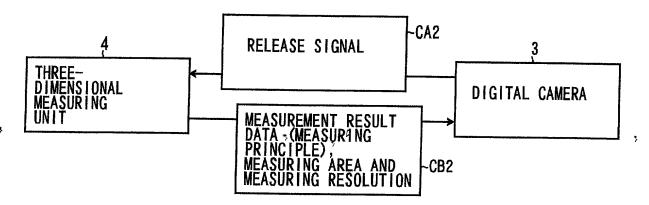


FIG. 13

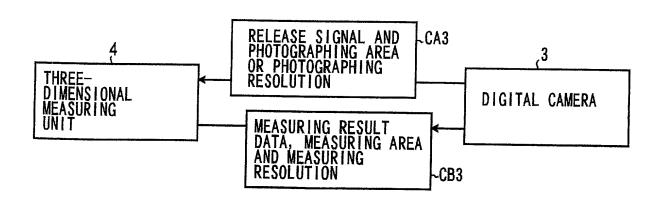


FIG. 14

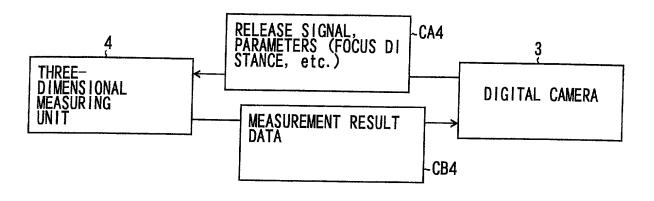


FIG. 15

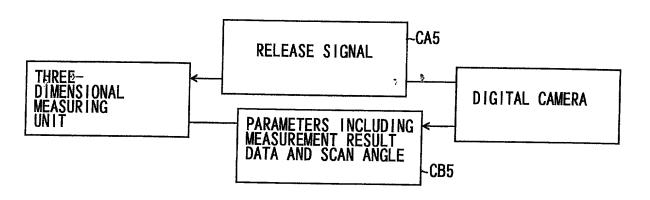


FIG. 16

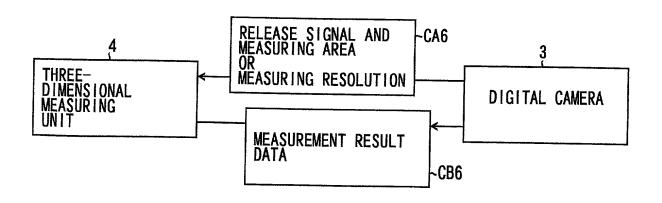


FIG. 17 -CA7 ٦,

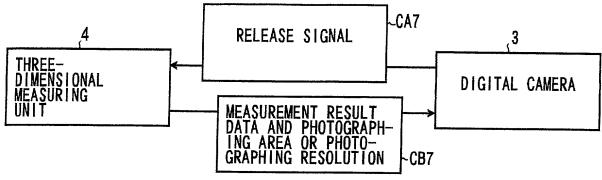


FIG. 18

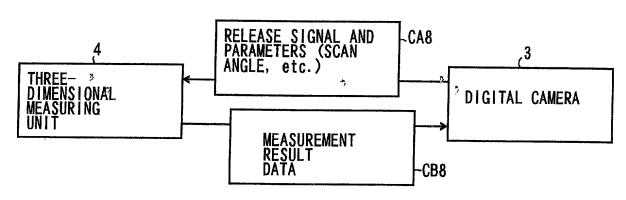


FIG. 19

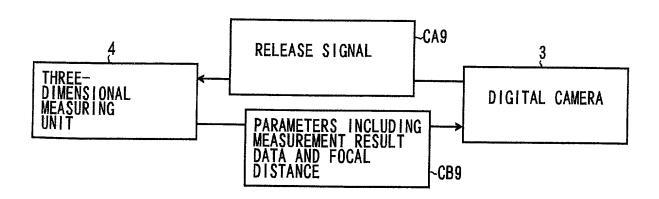
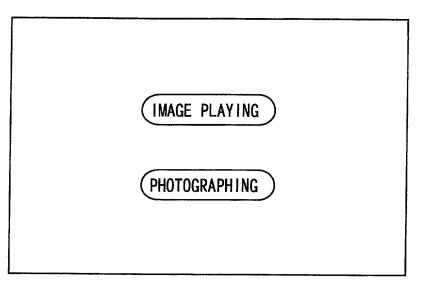


FIG. 20 <u>HG1</u>



3₃

34

FIG. 21

HG2

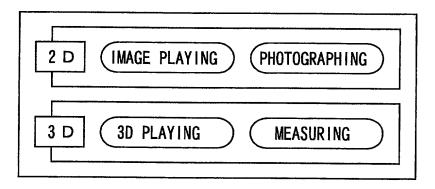
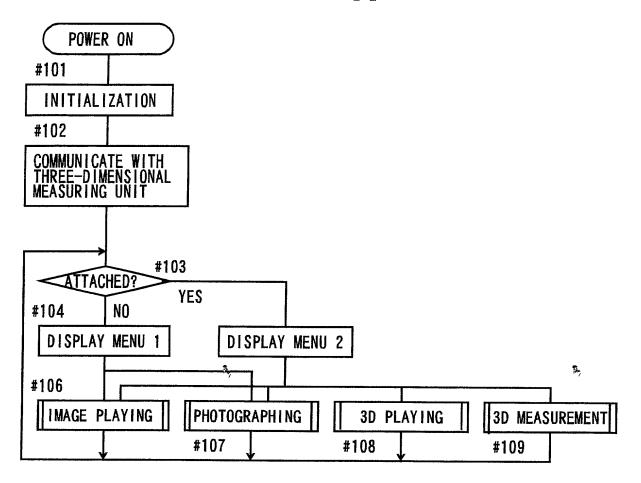


FIG. 22



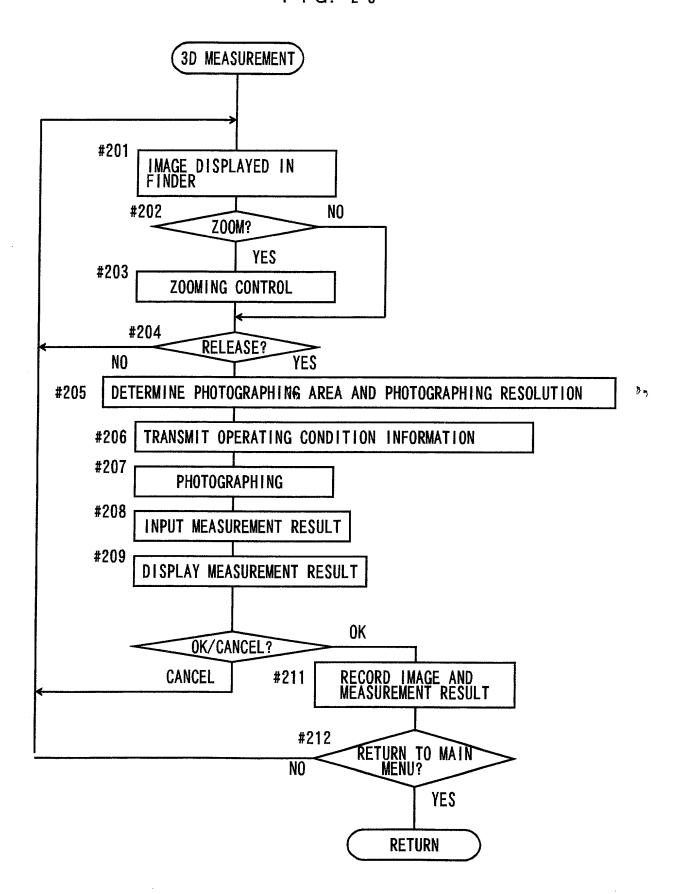
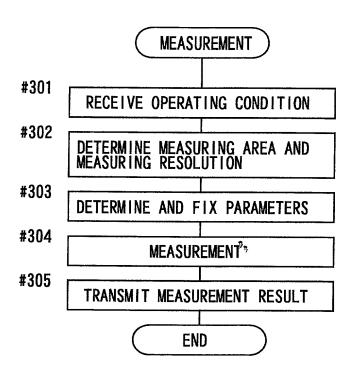


FIG. 24



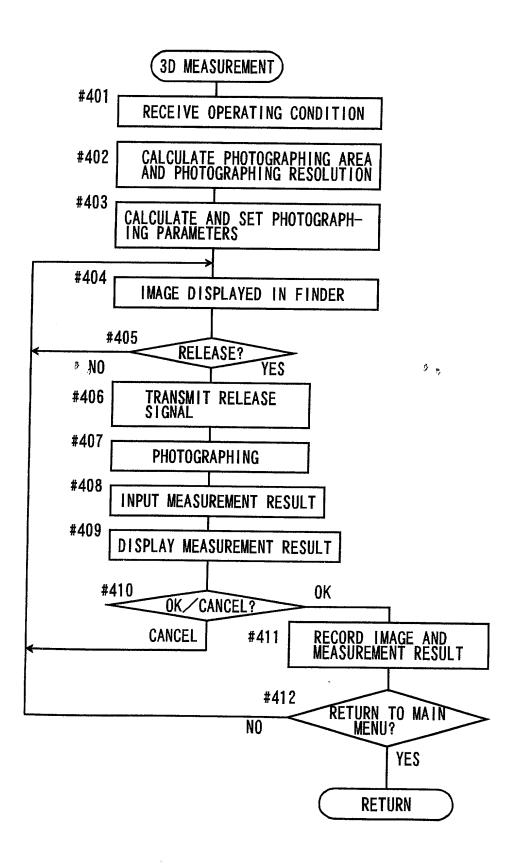


FIG. 26

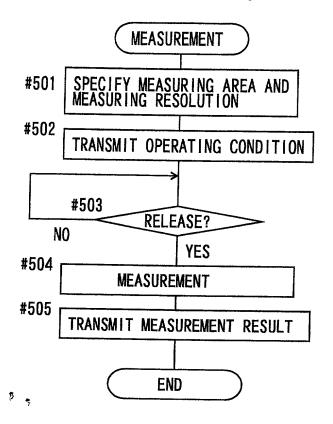
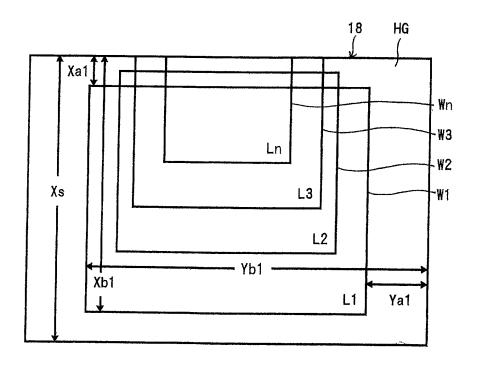


FIG. 27

3 🤫



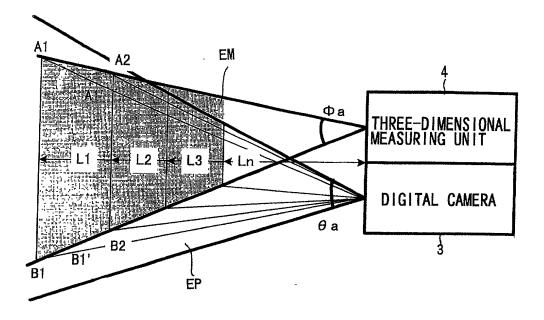


FIG. 29

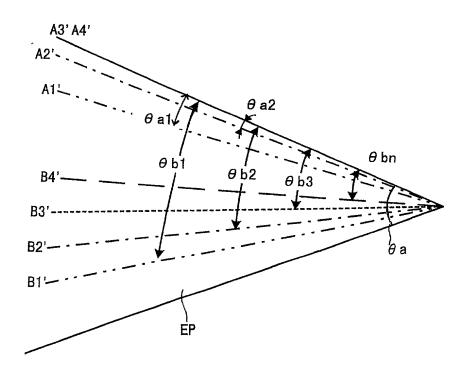
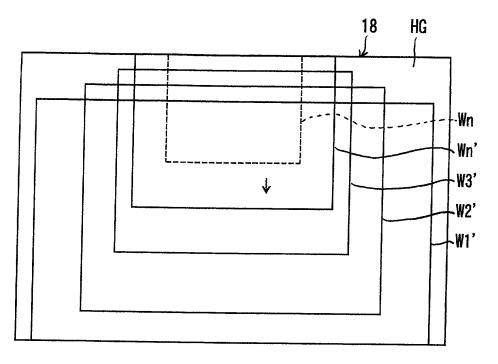


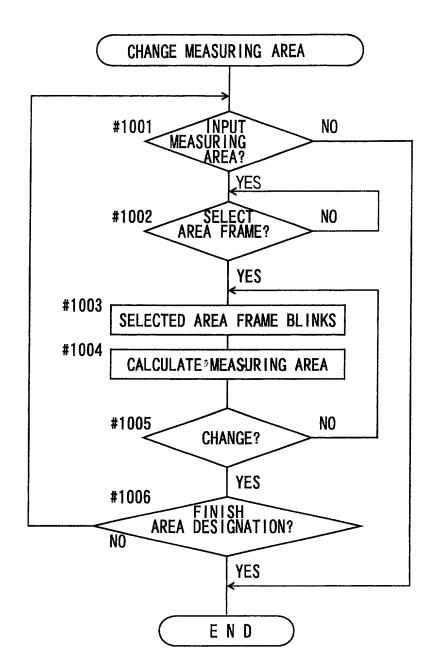
FIG. 30



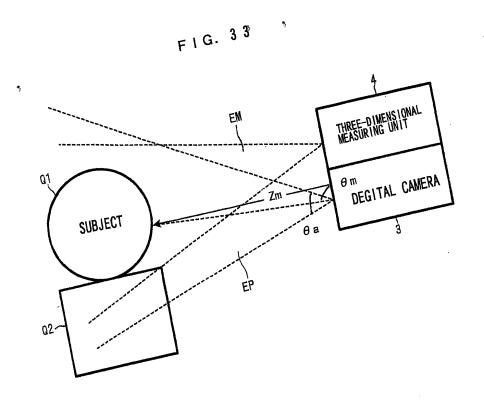
٠.

,

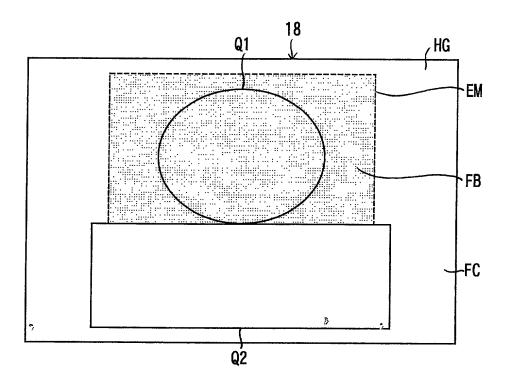
FIG. 31



The control of the co



F I G. 34



ħ

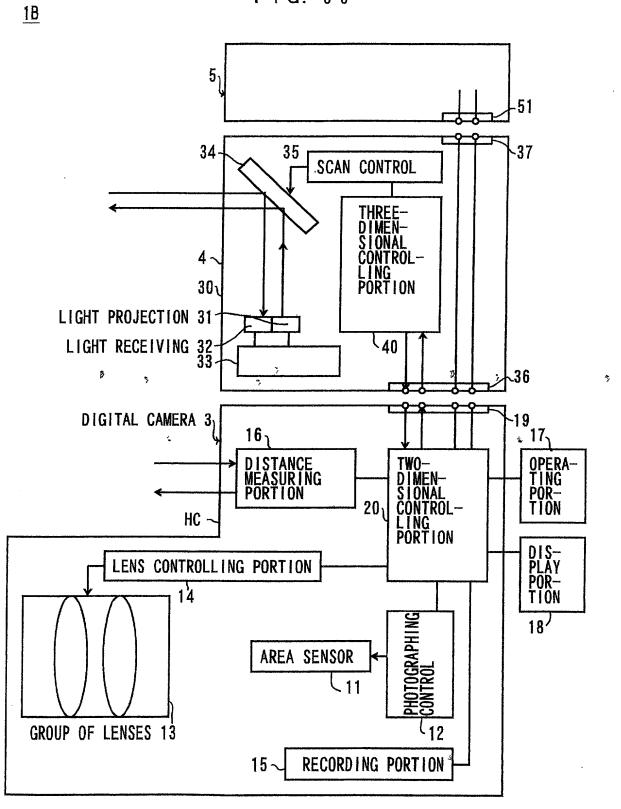
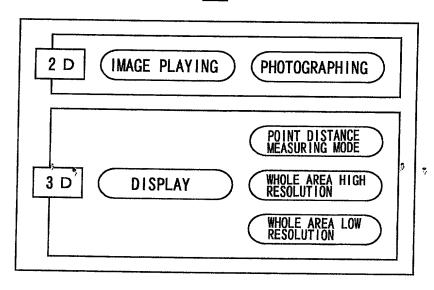
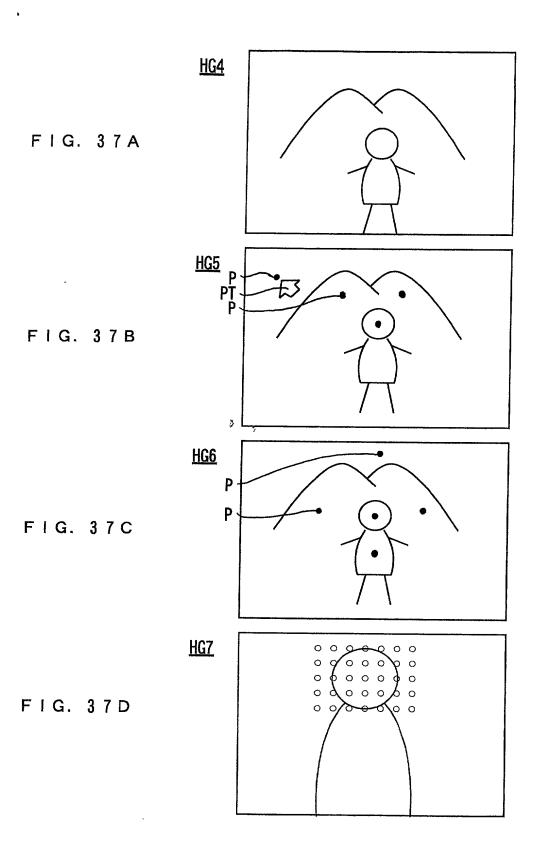
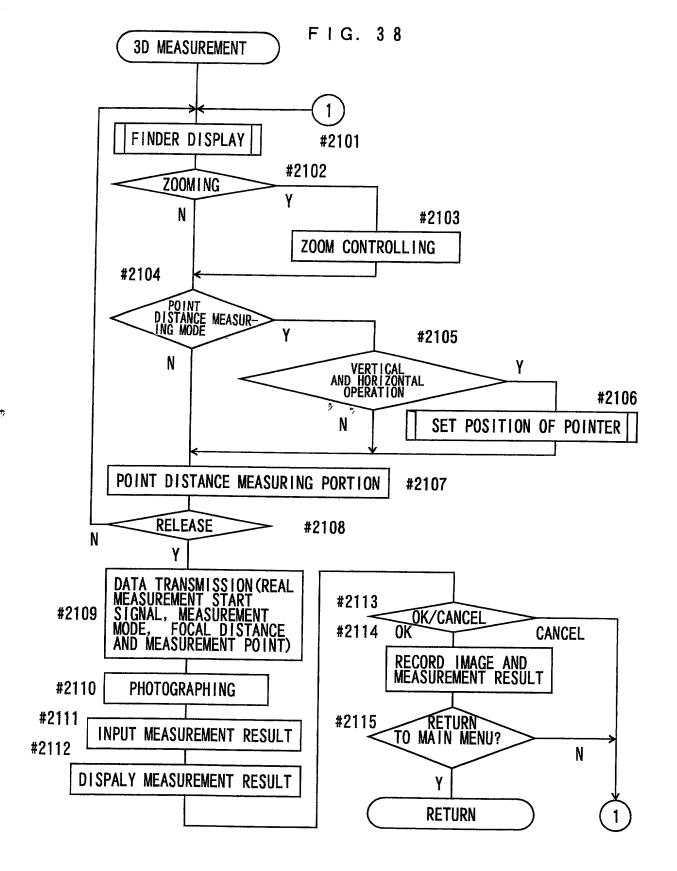


FIG. 36

HG3







#2301

FIG. 39

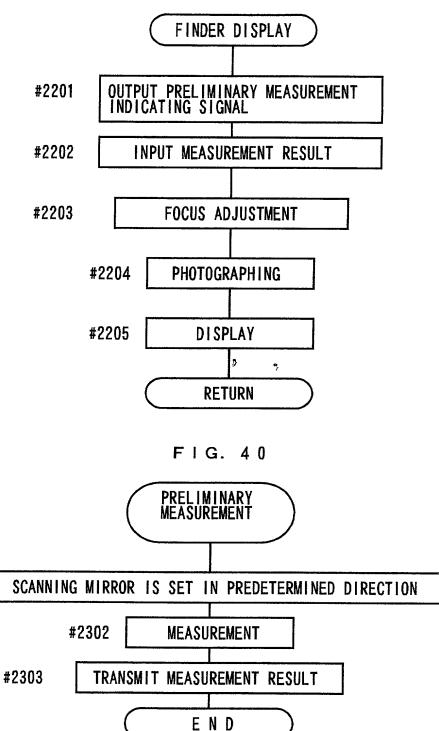


FIG. 41

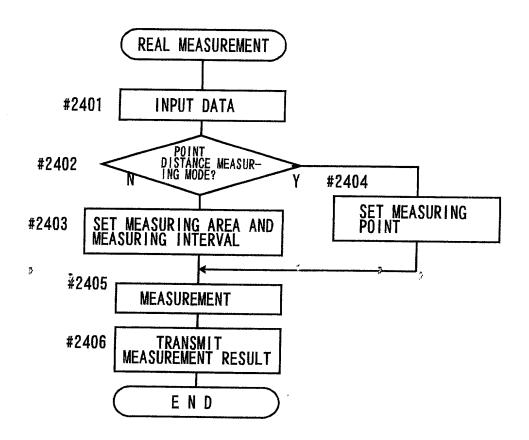


FIG. 42

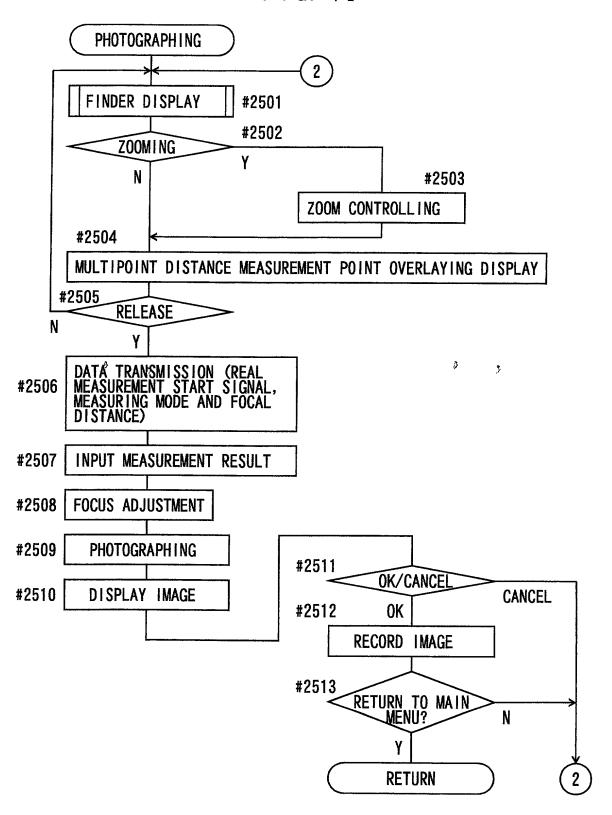


FIG. 43

